



دانشکده علوم پایه، گروه فیزیک
پایان نامه دکتری فیزیک حالت جامد

ZnO:Mn

نگارش :

مجید ابراهیمی زاده ابریشمی

اساتید راهنما :

دکتر سید محمد حسینی ، دکتر ابراهیم عطاران کاخکی

استاد مشاور:

دکتر احمد کمپانی

بهمن ماه ۱۳۸۸

چکیده

در این پایان نامه، نانوپودر $\text{ZnO}:Mn$ با درصدهای منگنز (۰/۱۵، ۰/۰۶، ۰/۰۲، ۰/۰۰) به روش سل ژل پلیمری سنتز گردید. با استفاده از تصاویر TEM، اندازه‌ی نانوذرات ۳۵ nm تخمین زده شد. طرح پراش پرتوی X نشان دهنده‌ی تشکیل فاز ورتسایت در دمای تکلیس 400°C بود. تک فاز بودن نمونه‌ها، بر افزایش حلالیت منگنز در ساختار ZnO دلالت داشت. ثابت‌های شبکه با افزایش درصد منگنز رشد کردند ولی در نانوپودر $\text{Zn}_{0.85}\text{Mn}_{0.15}$ ، به شدت حجم یاخته‌ی بسیط کاهش یافت. در دو ناحیه‌ی فروسرخ میانی و فرابنفس ثابت‌های نوری تعیین شدند. در ناحیه‌ی فروسرخ میانی، با استفاده از طیف فروسرخ تبدیل فوریه (FTIR) عبوری، نشان داده شد که با کوچک شدن ابعاد ذره در مقیاس نانو، علاوه بر قله‌ی جذبی مربوط به پیوند فلز-اکسیژن، یک شانه‌ی جذب نیز ظاهر شد. تأثیر ناخالصی منگنز، دمای تکلیس و فازهای ثانویه بر روی طیف عبوری FTIR بررسی شد و به این نتیجه رسیدیم که طیف FTIR می‌تواند نتایج حاصل از XRD را به خوبی تأیید نماید. شاخصهای نوری در محدوده‌ی فروسرخ با استفاده از روابط کرامز-کرونیگ به دست آمد و رفتار پارامترهای نوری نانوپودر $\text{Zn}_{0.85}\text{Mn}_{0.15}$ نشان داد که منگنز می‌تواند با درجه‌های اکسیداسیون متفاوت در ساختار ظاهر شود. در ناحیه‌ی فرابنفس نیز، گاف نوری با استفاده از طیف جذب محاسبه شد که شاهد کاهش گاف نوری با افزایش درصد منگنز از $3/12 \text{ eV}$ به $3/22 \text{ eV}$ بود. با ترتیب برای نمونه‌های با درصد منگنز ۰/۰۰ و ۰/۱۰ بودیم. با استفاده از نانوپودرهای سنتز شده، نانوسرامیک ساخته شد و بررسی ویژگیهای وریستوری نشان داد که ضرایب غیرخطی نسبت به سرامیک سنتز شده از حالت کپه، بهبود یافته است. همچنین، اثر دمای تفجوشی و درصد افزودنی منگنز بر روی ویژگیهای وریستوری و میکروساختار نشان داد که با تغییر این دو پارامتر می‌توان به ویژگیهای یک وریستور خوب با ضریب غیرخطی بالا دست یافت.

همچنین، نفوذپذیری مغناطیسی نمونه‌های تفجوش شده، رسم گردید و دمای کوری برای نمونه‌ی $\text{Zn}_{0.94}\text{Mn}_{0.06}$ تعیین شد.

لایه‌های نازک $\text{ZnO}:Mn$ نیز به روش اسپری پایرولیز سنتز گردیدند که تشکیل فاز ورتسایت را به خوبی شاهد بودیم تا جاییکه برای نمونه‌ی خالص ZnO ، درصد شدت نسبی صفحه‌ی پراشی [۰۰۲] تا ۹۲٪ افزایش یافت. تصاویر SEM گرفته شده از لایه‌ها، نشان دهنده‌ی یکنواختی مورفولوژی سطح و مناسب بودن دانه‌بندی لایه‌ها بود. تأثیر درصد منگنز و بازپخت بر ضریب شکست تحقیق شد. گاف نوری نیز با سه مدل متفاوت محاسبه شد که همگی آنها نشان دادند که با افزایش درصد منگنز، گاف نوری افزایش می‌یابد. در نهایت، اثر منگنز بر ویژگی مغناطونوری لایه‌های حاوی منگنز نشان داد که لایه‌ها در دمای اتاق، فرومغناطیس هستند.

فهرست:

فصل اول: آشنایی با ویژگیهای ZnO:Mn و کاربردهای آن

مقدمه

۱.	۱-۱ نانوسرامیک
۲.	۱-۲ وریستورها
۳.	۱-۲-۱ مشخصه های الکتریکی وریستور
۴.	۱-۲-۲ میکروساختارهای وریستور
۵.	۱-۲-۳ مدار معادل وریستور
۶.	۱-۲-۴ مکانیسم رفتار وریستور
۷.	۱-۳ نیمرسانی مغناطیسی رقیق
۸.	۱-۴ ویژگیهای ZnO با ناخالصی Mn
۹.	۱-۴-۱ ویژگیهای ساختاری
۱۰.	۱-۴-۲ ویژگیهای الکتریکی
۱۱.	۱-۴-۳ ویژگیهای مغناطیسی
۱۲.	۱-۴-۴ کاربردهای ZnO
۱۳.	۱-۵ الکترونیک
۱۴.	۱-۵-۱ حسگرها
۱۵.	۱-۵-۲ اسپیترونیک

فصل دوم: روشاهای ساخت ZnO:Mn و اندازه گیری پارامترهای آن

مقدمه

۲۰.	۲-۱ سنتز نانوذرات ZnO:Mn و روشاهای اندازه گیری
۲۰.	۲-۱-۱ روش های سنتز ذرات ZnO:Mn
۲۱.	۲-۱-۱-۱ روش واکنش حالت جامد
۲۱.	۲-۱-۱-۲ روش هم رسوئی
۲۱.	۲-۱-۱-۳ سنتز احتراقی
۲۲.	۲-۱-۱-۴ روش سل - ژل
۲۲.	۲-۱-۱-۵ روش احتراق ژل

۲۳.....	۲-۱-۲ فرایندهای روش سل ژل
۲۴.....	۳-۱-۲ تولید قرص از نانوپودرها و تهیی سرامیک ZnO:Mn
۲۴.....	۱-۳-۱-۲ فرایند تکلیس
۲۵.....	۲-۳-۱-۲ قالب زدن و تهیی قرص
۲۵.....	۳-۳-۱-۲ فرآیند تفجوشی
۲۶.....	۴-۳-۱-۲ صیقل دادن (پالیش کردن)
۲۶.....	۵-۳-۱-۲ الکترود گذاری
۲۷.....	۴-۱-۲ روش‌های اندازه‌گیری پارامترهای سرامیک ZnO:Mn
۲۷.....	۱-۴-۱-۲ اندازه‌گیری ثابت دی‌الکتریک
۲۸.....	۲-۴-۱-۲ اندازه‌گیری نفوذپذیری مغناطیسی
۳۰.....	۵-۱-۲ بررسی ریزساختار سرامیک‌های وریستور
۳۱.....	۲-۲ ساخت لایه نازک ZnO:Mn و روشهای اندازه‌گیری
۳۲.....	۱-۲-۲ لایه نشانی فیزیکی
۳۲.....	۱-۲-۲ روش پالس لیزری
۳۳.....	۲-۱-۲-۲ کند و پاش
۳۳.....	۳-۱-۲-۲ تبخیر گرمایی
۳۴.....	۲-۲-۲ لایه‌نشانی شیمیایی
۳۴.....	۱-۲-۲-۲ نشاندن لایه به روش بخار شیمیایی
۳۴.....	۲-۲-۲-۲ نشاندن محلول شیمیایی
۳۵.....	۳-۲-۲ لایه‌نشانی افسانه گرمایی
۳۶.....	۴-۲-۲ روشهای اندازه‌گیری پارامترهای لایه‌نازک ZnO:Mn
۳۶.....	۱-۴-۲-۲ اندازه‌گیری چرخش فارادی و کر

فصل سوم: کارهای آزمایشگاهی، بخش اول: ستز نانو پودر و لایه نازک ZnO:Mn

مقدمه

۴۰.....	۳-۱ ساخت نانوپودر و نانوسرامیک ZnO:Mn
۴۰.....	۱-۱-۳ تهیی نانوذرات ZnO:Mn به روش سل ژل
۴۵.....	۲-۱-۳ روشهای شکل‌دهی و قالب زدن
۴۶.....	۳-۱-۳ فرآیند تفجوشی
۴۷.....	۴-۱-۳ صیقل دادن (پالیش کردن)
۴۸.....	۵-۱-۳ سونش سرامیک
۴۸.....	۶-۱-۳ الکترود گذاری

۴۹.....	۲-۳ ساخت لایه نازک ZnO:Mn
۴۹.....	۱-۲-۳ تهیهٔ محلول اولیه
۴۹.....	۲-۲-۳ تهیهٔ لایه نازک ZnO:Mn بر اساس تغییر درصد منگنز

فصل چهارم: نتایج اندازه‌گیری و مشخصهٔ یابی نانوپودر و نانوسرامیک ZnO:Mn

مقدمه

۵۳.....	۱-۴ مشخصهٔ یابی و مطالعهٔ خواص ساختاری نانوپودرهای ZnO:Mn
۵۴.....	۱-۱-۴ مشخصهٔ یابی طیف پراش پرتوی X
۶۰.....	۲-۱-۴ مشخصهٔ یابی ترکیبی نانوپودرها
۶۱.....	۳-۱-۴ مشخصهٔ یابی و مطالعهٔ خواص میکروسکوپی نانو پودرها
۶۲.....	۲-۴ مشخصهٔ یابی و مطالعهٔ خواص نوری نانوپودرهای ZnO:Mn
۶۲.....	۱-۲-۴ ویژگیهای نوری در ناحیهٔ فروسرخ میانی
۶۲.....	۱-۱-۲-۴ طیف تراگسیلی FTIR
۶۵.....	۲-۱-۲-۴ طیف بازتاب FTIR
۶۶.....	۳-۱-۲-۴ محاسبهٔ پارامترهای اپتیکی به روش کرامرز-کرونیگ
۶۹.....	۲-۲-۴ ویژگیهای نوری در ناحیهٔ UV
۷۱.....	۳-۴ مشخصهٔ یابی و مطالعهٔ خواص الکتریکی سرامیک ZnO:Mn
۷۱.....	۱-۳-۴ بررسی ریزساختار
۷۴.....	۲-۳-۴ چگالی
۷۴.....	۳-۳-۴ اندازه‌گیری ثابت دیالکتریک
۷۶.....	۴-۳-۴ مشخصهٔ یابی J-E
۸۲.....	۴-۴ اندازه‌گیری دمای کوری مغناطیسی

فصل پنجم: نتایج اندازه‌گیری و مشخصهٔ یابی لایه‌های نازک ZnO:Mn

مقدمه

۸۵.....	۱-۵ مشخصهٔ یابی و مطالعهٔ خواص ساختاری
۸۵.....	۱-۱-۵ مشخصهٔ یابی طیف پراش اشعه X
۸۷.....	۲-۱-۵ مشخصهٔ یابی ترکیبی
۸۹.....	۳-۱-۵ بررسی دانه‌بندی نمونه‌ها با تصاویر SEM
۹۰.....	۲-۵ مشخصهٔ یابی اپتیکی لایه‌های ZnO:Mn
۹۰.....	۱-۲-۵ ضریب شکست و ضخامت لایه
۹۵.....	۲-۲-۵ ضریب خاموشی و گاف انرژی

۹۹ ۳-۵ ویژگیهای مغناطیسی نوری

فصل ششم: جمع‌بندی

مقدمه

۱۰۳.....	۱-۶ جمع‌بندی روش‌های سنتز نانو‌ساختارهای ZnO:Mn
۱۰۴.....	۲-۶ جمع‌بندی خواص ساختاری
۱۰۵.....	۳-۶ جمع‌بندی خواص نوری
۱۰۷.....	۴-۶ جمع‌بندی خواص الکتریکی
۱۰۸.....	۵-۶ جمع‌بندی خواص مغناطیسی
۱۰۸.....	۶-۶ پیشنهاد برای ادامه‌ی پژوهش
۱۰۹.....	مراجع

ZnO

ZnO:Mn

مقدمه

نانوتکنولوژی، علم مطالعه‌ی کنترل رفتار مواد در مقیاس اتمی و مولکولی است. عموماً، نانوتکنولوژی با ساختارهایی رو به روست که حداقل در یک بعد، دارای ابعادی کمتر از ۱۰۰nm باشد و همچنین بهینه کردن پارامترهای مواد و قطعات در این اندازه در دستور کار این علم نوپاست. ایده‌ی ابتدایی تفاوت رفتاری مقیاسهای نانو، اولین بار در دهه‌ی ۶۰ میلادی توسط فاینمن^۱ مطرح گردید. ولی لغت نانوتکنولوژی در ژاپن و توسط پروفسور نوریو تانیگوچی^۲ (در مقاله‌ای که در سال ۱۹۷۴ ارائه گردید) پیشنهاد شد. در دهه‌ی ۸۰ میلادی، دکتر اریک درکسلر^۳ ایده‌های ابتدایی آن را به عرصه‌ی ساخت قطعه‌ها وارد کرد، تا اینکه بالاخره نانوسرامیک‌ها در دهه‌ی ۹۰ میلادی ظهر کردند. در این زمان بود که با توجه به خواص بسیار مطلوب پودرهای نانوسرامیکی، توجهاتی به سمت آن‌ها جلب شد، اما روش‌های فرآوری آن‌ها چندان آسان و مقرون به صرفه نبود. با پیدایش نانوتکنولوژی، نانوسرامیک‌ها هر چه بیشتر اهمیت خود را نشان دادند. در حقیقت نانوتکنولوژی با دیدگاهی که ارائه می‌کند، تحلیل بهتر پدیده‌ها و دست‌یافتن به روش‌های بهتری برای تولید مواد را امکان‌پذیر می‌سازد. شکل‌گرفتن علم مهندسی نانو، منجر به درک بی‌سابقه‌ی اجزای اولیه پایه‌ی تمام اجسام فیزیکی و کنترل آن‌ها شده‌است و این پدیده بزودی روشی را که اغلب اجسام توسط آن‌ها طراحی و ساخته می‌شده‌اند، دگرگون می‌سازد. همیشه با استفاده از رفتارهای مشاهده شده در اندازه‌های بزرگ، نمی‌توان رفتارهای جدید در مقیاس نانو را پیش‌بینی کرد و تغییرات مهم رفتاری صرفاً به خاطر کاهش درجه‌ی بزرگی اتفاق نمی‌افتد، بلکه به دلیل پدیده‌های ذاتی و جدید آن‌ها و تسلط‌یافتن در مقیاس نانو بر محدودیت‌هایی نظیر اندازه، پدیده‌های واسطه‌ای و مکانیک کوانتمی هستند.

۱-۱ نانوسرامیک

نانوسرامیک‌ها، آن‌هایی هستند که در ساخت آن‌ها از اجزای اولیه در مقیاس نانو (مانند نانوذرات، نانوتیوب‌ها و نانولایه‌ها) استفاده شده باشد، که هر کدام از این اجزای اولیه، خود از اتم‌ها و مولکول‌ها بدست آمده‌اند. بنابراین

¹ Feynman

² Norio Taniguchi

³ Eric Drexler

مسیر تکامل نانوسرامیک‌ها را می‌توان در سه مرحله خلاصه کرد که عبارتند از: مرحله^۱: سنتز اجرای اولیه مرحله^۲: تهیه نانو پودرها با استفاده از این اجزاء و کنترل و بررسی خواص آنها مرحله^۳: ساخت محصول نهایی.

ویژگی‌ها- ویژگی‌های نانوسرامیک‌ها در مقایسه با اندازه میکروسرامیک را می‌توان از دو دیدگاه بررسی کرد. یکی ویژگی نانوساختارهای سرامیکی، و دیگری خواص محصولات بدستآمده است.

ویژگی‌های نانوساختارهای سرامیکی: کوچک، سبک، دارای خواص جدید در مقایسه با سیستم سنتی، چند منظوره، امکان استفاده در دستگاه‌های هوشمند و دارای سازماندهی مرتبه‌ای.

خواص محصولات نانوسرامیکی: خواص مکانیکی بهتر: سختی و استحکام بالاتر و انعطاف‌پذیری که ویژگی منحصر به‌فردی برای سرامیک‌هاست. داشتن نسبت سطح به حجم بالا که باعث کنترل دقیق بر سطح می‌شود. دمای تفجوشی پایین‌تر که باعث تولید اقتصادی، کاهش هزینه‌ها می‌گردد و به علاوه از فرار عناصر با دماهای ذوب پایین جلوگیری می‌کند. دارای خواص الکتریکی، مغناطیسی و نوری مطلوب‌تر در مقایسه با نوع سنتی می‌باشد. به علت چگالی بالا قابلیت عبور نوری بهتری دارند.

۲-۱ وریستورها^۴

وریستورهای اکسید فلزی نسل جدید، قطعات نیمرسانای سرامیکی بر پایه‌ی ZnO هستند که همانند دو دیود زنر^۵ پشت به پشت عمل می‌کنند و مشخصه‌ی ولتاژ-جریان آنها غیرخطی است. مطالعه و استفاده از این مواد، به سرعت به عرصه‌ی پیشرفت در فناوریهای الکترونیکی سرامیک‌های اکسیدی تبدیل شده است. وریستورها، با فرآیند تفجوشی^۶ سرامیکی ساخته می‌شوند. ساختار آنها متشکل از دانه‌های^۷ رسانای ZnO است که در مرزدانه‌ها به وسیله‌ی سدهای باریک و نارسانا احاطه شده‌اند. وریستورهای ZnO به طور برجسته‌ای در نگهداری از مدارهای الکترونیکی در برابر ولتاژهای بالا مورد استفاده قرار می‌گیرد [۱]. در ابتدا، وریستورهای ZnO به عنوان یک قطعه‌ی محافظتی، در ژاپن توسعه یافت و از سال ۱۹۷۲ در آمریکا تحت عنوان تجاری GE-MOV در دسترس قرار گرفت. وریستورها، رفتار ویژه‌ای در مدار دارند. به همین علت، توصیف مختصر اثر بسامد و ولتاژ بر امپданس وریستور، مهم جلوه می‌کند.

⁴ Varistor

⁵ Zener diode

⁶ Sintering

⁷ Grain

۱-۲-۱ مشخصه‌های الکتریکی وریستور

همانطور که ذکر گردید، مشخصه‌ی ولتاژ- جریان وریستورها؛ همانند دو دیود زنر پشت به پشت، شدیداً غیرخطی است، با این تفاوت که توانایی ما در کنترل رفتار ولتاژ و جریان وریستورها بیشتر است. این قطعه تا یک میدان مشخص که به آن میدان شکست^۸ E_{BR} می‌گویند، رفتاری نارساناگونه دارد. در حالیکه در میدانهای بالاتر از آن، همانند رساناها عمل می‌کند. بررسی رفتار جریان و ولتاژ در مقیاس لگاریتمی، کاملترین آزمایش برای وریستورها به حساب می‌آید. شکل (۱-۱) نشان دهنده تغییرات چگالی جریان J بر حسب میدانهای اعمالی E در دماهایی بین ۳۹۸ K تا ۷۷ K است. همانطور که در این شکل آشکار است، در حالیکه میدان اعمالی در حدود ۳ مرتبه زیاد می‌شود، شدت جریان در حدود 10^{11} مرتبه تغییر می‌کند. علاوه بر آن، در محدوده وسیعی از چگالی جریان، رابطه‌ی لگاریتمی $V-I$ تقریباً خطی است. در این صورت می‌توانیم بنویسیم [۲]

$$\frac{E_2}{E_1} = \left(\frac{J_2}{J_1} \right)^\alpha \quad (1-1)$$

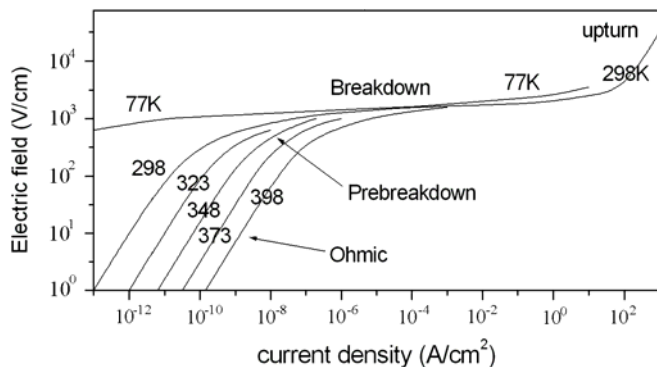
که α ضریب غیرخطی وریستور است. برای یک قطعه‌ی اهمی $\alpha = 1$ است و در صورتی وریستور بهتری داریم که $\alpha \rightarrow \infty$ باشد (یعنی با مقدار کمی تغییر در میدان الکتریکی اعمالی، شدت جریان به صورت نامحدودی زیاد می‌شود). ضریب غیرخطی یک وریستور خوب پایه‌ی ZnO در حدود ۲۵ تا ۵۰ و یا حتی بیشتر از آنهاست. در شدت جریانهای بسیار بالا و بسیار پایین، رابطه‌ی (۱-۱) توصیف مناسبی از مشخصه‌ی وریستوری به ما نمی‌دهد. در ناحیه‌ی شدت جریانهای پایین که به نام پیش شکست^۹ شناخته می‌شود، بر انتقال شدت جریانهای بسیار کوچک در ولتاژهایی کوچکتر از ولتاژ شکست، دلالت می‌کند. انحراف از قانون رابطه‌ی (۱-۱) در شدت جریانهای بالا، نتیجه‌ای قطعی از مجموعه مقاومتهای سری مت Shank از دانه‌های ZnO در وریستور است. این منطقه در شکل (۱-۱)، ناحیه‌ی مطلوب^{۱۰} نام دارد. استفاده از وریستورهای ZnO برای محافظت قطعات حساس از ولتاژهای زودگذر بالا، دارای اصولی بسیار ساده است. کافیست وریستور موازی با قطعه‌ی محافظت شده متصل شود. برای نگهداری از مدار، وریستوری انتخاب می‌شود که ولتاژ شکست آن کمی بیشتر از ولتاژ طراحی شده برای مدار باشد. در حالت عملیاتی مدار، یک وریستور نارساناست (ناحیه‌ی پیش شکست). اگر یک میدان زودگذر به اندازه‌ای بیشتر از ولتاژ

⁸ Breakdown field

⁹ Prebreakdown

¹⁰ Upturn

شکست وریستور اعمال گردد، شدّت جریان عبوری از وریستور به سرعت افزایش می‌یابد. در این حالت، منحنی ولتاژ - جریان حاکی از رسانا بودن وریستور در مقابل یک ولتاژ زودگذر است.



شکل (۱-۱): مشخصه‌ی شدّت جریان - ولتاژ برای یک وریستور ZnO در دماهای بین ۷۷ K تا ۳۹۸ K.^[۲]

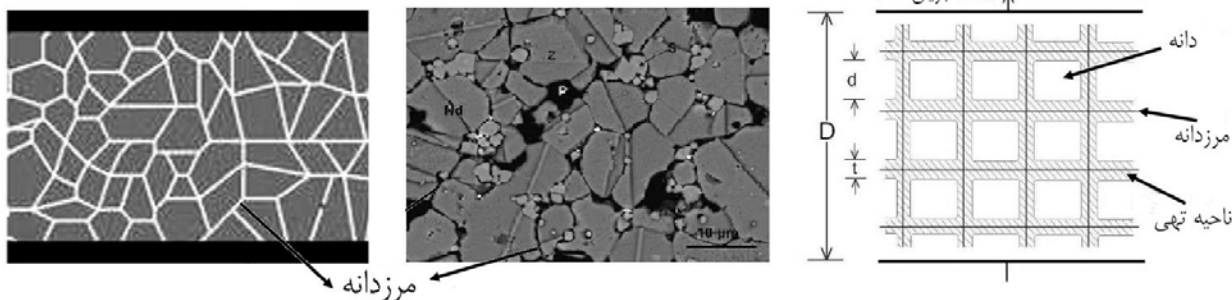
۲-۲-۱ میکروساختارهای وریستور

وریستورهای ZnO از جمله سرامیکهای اکسیدی چند مولفه‌ای و بسیار پیچیده هستند. رفتار الکتریکی این وریستورها، هم به میکروساختار قطعات و هم به جزئیات فرآیندهای مرزدانه‌های ZnO بستگی دارد. وریستورها، عمدها از ZnO ساخته می‌شوند (۸۰ درصد مولی یا بیشتر). علاوه بر ZnO، مقداری از اکسیدهای فلزی به عنوان افزودنی به وریستور اضافه می‌شوند. به عنوان مثال، ماتسوaka^[۳] یک ترکیب پیشنهاد داد که شامل ۹۷٪ مولی ZnO، ۱٪ Sb₂O₃ و ۰.۵٪ مولی برای Bi₂O₃، CoO، Cr₂O₃ و MnO بود. استفاده از این درصدها مبتنی بر دسترسی به یک وریستور با بیشینه‌ی ویژگیهای وریستور باشد، اگر ضریب غیرخطی α ، تنها متغیر مهم قطعه باشد، مقادیر پایین شدّت جریان پیش‌شکست در سیستمهای وریستوری قابل دسترس است^[۴]. با این همه، ملاحظات دیگری همچون پایداری، یکنواختی رسانایی، اتلاف انرژی، توانایی جذب انرژی و مقاومت دانه‌ها بایستی بهینه شوند. نکته‌ی حائز اهمیت این است که بهینه‌سازی قطعه، علاوه بر انتخاب افزودنی، به طراحی حرارت‌دهی نیز بستگی دارد.

میکروساختار یک وریستور در شکل (۲-۱) نشان داده شده است. وریستور، از دانه‌های رسانا به اندازه‌ی d ، محاط با لایه‌های باریک، تشکیل شده است. شدّت جریان بین الکترودها، در شکل نشان داده شده. اندازه‌ی دانه‌ها به صورت معمول $10\text{ }\mu\text{m}$ و مقاومت دانه‌ها $1 \leq \rho \text{ cm} \Omega$ است^[۵]. البته میکروساختار واقعی وریستور ZnO بسیار پیچیده‌تر است. در شکل (۳-۱)، تصویر یک وریستور نمونه که سطح آن پولیش و نهایتاً سونش^{۱۱} شده، به

^{۱۱} Etch

نمایش درآمده است. در این تصویر، دانه‌های سه‌فازی، ناحیه‌ی بین‌دانه‌ای^{۱۲} و ذرات^{۱۳} مشهود هستند. کارایی یک وریستور، به وسیله‌ی کترل رفتار لایه‌های بین دانه‌های ZnO در سطح مشترک دانه – دانه میسر می‌شود.



شکل(۱-۲): تصویر ایده‌آل ترسیم
میکروساختار یک وریستور ZnO شده‌ی میکروساختار وریستور ZnO [۶].

شکل(۱-۳): تصویر واقعی
میکروساختار یک وریستور ZnO [۶].

شکل(۱-۴): مدل بلوكه برای بررسی
میکروساختار سرامیکها [۶].

برای تجزیه و تحلیل رفتار وریستور، می‌توان از مدل بلوكه^{۱۴} (شکل(۱-۴)) برای میکروساختار بهره گرفت. این مدل فرض می‌کند که قطعه از بلوكه‌های رسانای ZnO با ابعاد d تشکیل شده است که با سدهای نارسانا به ضخامت t از یکدیگر جدا شده‌اند. بهتر است تاکید شود که این سدهای نارسانا یک فاز جداگانه نیست، بلکه نمایشگر لایه‌های تهی پشت به پشت در مرزدانه‌هاست. برای این وریستور، میانگین ماکروسکوپیک میدان شکست در چگالی جریان^۱ $V_g = E_{BR} d = 2/6 \text{ V}$ در حدود 130 V/mm است. در نتیجه، ولتاژ شکست برای هر سد بین‌دانه‌ای در چگالی جریان^۲ $E_{BR} = 2V$ برابر است با

$$V_g = E_{BR} d = 2/6 \text{ V} \quad (۱-۲)$$

البته، ما انتظار داریم که این مقدار، کوچکتر از ولتاژ شکست حقیقی بازای هر دانه باشد، زیرا شدت جریان همیشه به دنبال راهیست که کمترین سد را بین الکترودها پیش رو داشته باشد. پس تعداد دانه‌های موجود در مسیر شدت جریان، کمتر از تعداد میانگین دانه‌های بین الکترودهاست. به عبارتی، برای تخمین صحیحتر V_g ، بایستی مقدار d بیشتر باشد. در حقیقت، طبق داده‌های میکروسکوپیک، رفتار وریستوری اتصالات دانه‌های منفرد، مقدار $V_g = 3/2 \text{ V}$ برای هر دانه به دست می‌آید. برای طیف وسیعی از وریستورهای ZnO، ولتاژهای ماکروسکوپیک بین ۲V تا ۳V برای هر سد اندازه‌گیری می‌شوند و همچنین مشخصه‌های الکتریکی بین تمامی مرزدانه‌های ZnO دارای

¹² Intergranular

¹³ Particle

¹⁴ Block model

یک سهم هستند. در نتیجه، ولتاژ شکست قطعه به نحوهی ساخت وریستور و تعداد مناسب دانه بین الکترودها n بستگی دارد. بنابراین، برای دستیابی به یک ولتاژ شکست مناسب، می‌توان ضخامت وریستور را تغییر داد (برای دانه‌هایی با اندازه‌ی ثابت) و یا می‌توان اندازه‌ی دانه‌ها را افزایش داد (با ثابت نگهداشتن ضخامت وریستور). در این صورت

$$V_{BR} = n \times v_g = \frac{Dv_g}{d} \quad (3-1)$$

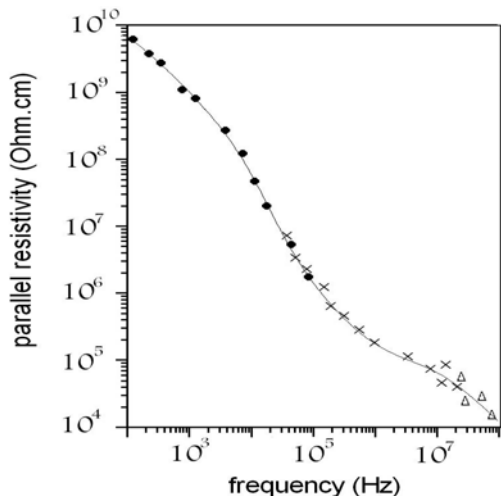
که D فاصله‌ی بین دو الکترود و d اندازه‌ی دانه‌های ZnO است. برای یک وریستور متداول، $V_{BR}=200\text{ V}$ و $n=80$ است. $D=1/6\text{ mm}$ و $d=20\mu\text{m}$

۳-۲-۱ مدار معادل وریستور

اندازه‌گیری تابع دیالکتریک ϵ وریستورهای ZnO مقادیری در حدود 1000 را نشان می‌دهد [۶]. این مقدار بالا با در نظر گرفتن مدل بلوكه قابل فهم است. به این علت که $d >> t$ ، حجم بین الکترودها اکثرًا با دانه‌های رسانای ZnO اشغال شده. در حقیقت، ضخامت دیالکتریکی که بین الکترودها قرار دارد، $D \times t/d$ نیست بلکه است. بنابراین اگر ϵ ثابت دیالکتریک لایه‌ی تهی باشد، انتظار داریم که ظرفیت وریستور C با رابطه‌ی

$$C = \frac{d}{t} \epsilon_g \epsilon_0 \frac{A}{d} \quad (4-1)$$

داده شود. به عبارت دیگر، ثابت دیالکتریک مؤثر با عامل t/d افزایش می‌یابد. مقادیر اندازه‌گیری شده برای ZnO عبارتند از: $\epsilon \approx 1000$ ، $d/t \approx 100$ و $\epsilon_g \approx 10$. این ناحیه‌ی تهی، به صورت مؤثری ظرفیت وریستور در ولتاژهای پایین را کنترل می‌کند. یعنی اگر $d = 10\mu\text{m}$ باشد [۷]، ضخامت در حدود 100 nm می‌شود. ضخامت ناحیه‌ی تهی برای سرامیکهایی غیر از ZnO به مراتب کوچکتر است [۵]. مناسب‌تر است که برای توصیف سدهای بین دانه‌ای از مقاومت ظرفیت و مقاومت موازی (C_P و R_P) استفاده کرد. این مقادیر به بسامد و دما بستگی دارند. در شکل‌های (۴-۱) و (۶-۱)، ثابت دیالکتریک اندازه‌گیری شده ϵ و مقاومت ویژه موازی ρ_P برای یک وریستور GE-MOV آورده شده است. ثابت دیالکتریک مؤثر در بازه‌ی $10^5 - 10^7\text{ Hz}$ کاهش می‌یابد و این روند با شدت بیشتری در $10^5 - 10^7\text{ Hz}$ ادامه می‌یابد.



شکل (۴-۱): تغییرات مقاومت موازی یک وریستور ZnO نسبت به فرکانس در دمای اتاق [V].

۴-۲ مکانیسم رفتار وریستور

هرگونه نظریه‌ی الکتریکی وریستورهای ZnO باستی جنبه‌های ویژه‌ای را در نظر بگیرد. از جمله‌ی آنها می‌توان میکروساختارها، سدۀ بین‌دانه‌ای^{۱۵} و ماده‌ی بین‌دانه‌ای را ذکر کرد. مدل ساده‌سازی بلوکه، ثابت کرده که برای مطالعه‌ی میکروساختار سرامیک کافی است. با این همه، برای بررسی پیوندگاههای سدۀ بین‌دانه‌ای اصلاً کامل نیست. البته به علت عدم وجود اطلاعات شیمیایی و فیزیکی کافی در فصل مشترک دانه‌ها، این فهم ناقص غیر قابل انتظار نیست.

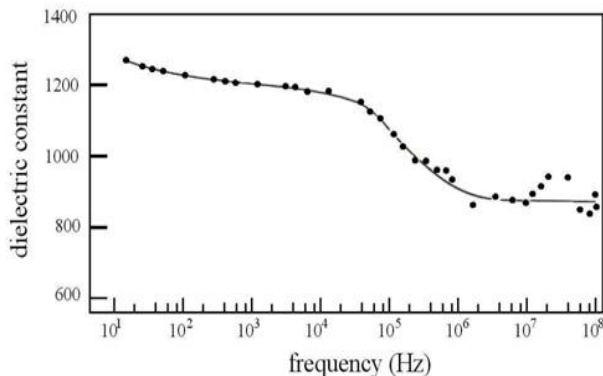
هم اکنون به بررسی بیشتر شکل (۴-۱) می‌پردازیم. سه منطقه در این منحنی قابل تشخیص است. در ناحیه‌ی شکست، منحنی به دما بستگی ندارد. در عوض، شدیداً به ولتاژ وابسته است و با رابطه‌ی تجربی (۴-۱) توصیف می‌شود (α در بازه‌ای پیرامون 10^{-3} A/cm^2 محاسبه می‌شود). در شدّت جریانهای بزرگ، یک تغییر شدید در منحنی دیده می‌شود که ویژگی مکانیسم شکست نیست، بلکه مربوط به مقاومت دانه‌های ZnO تعبیر می‌شود. در ناحیه‌ی پیش‌شکست یا نشتی^{۱۶} در ولتاژهای پایین، مشخصه‌ی I-V خطی است. تعدادی مدل‌های نظری درباره‌ی پدیده‌های وریستوری و رسانایی دانه-دانه با اعتبارهای مناسب ارائه شده. این مدل‌ها، بر پایه‌ی فرض نواحی تهی در نزدیکی پیوندگاههای دانه‌ها استوار است. در این مدل‌ها، لایه‌های بین‌دانه‌ای که حضورشان منوط به فرآیند شکل-گیری وریستوری هستند، بررسی نمی‌شوند. به طور مثال، در یک مدل پدیده شناختی^[۸]، چگالی حالات سطحی و ناخالصیها، از داده‌های I-V و C-V استخراج می‌شوند. از طرفی، مدل ماهان^[۹] به وجود ناخالصی و چگالی

¹⁵ Intergranular barrier

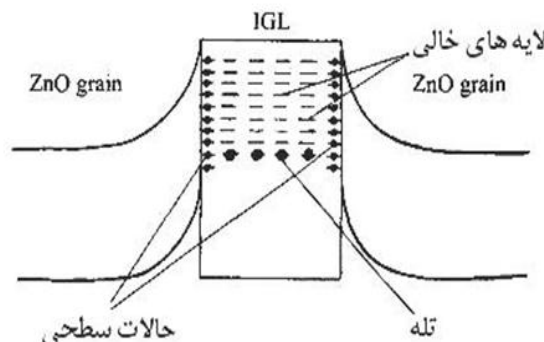
¹⁶ Leakage

¹⁷ Mahan

حالات سطحی نیازی ندارد. این مدل مبتنی بر رسانش غیرخطی، همراه با فرآیند تونل زنی حاصل از خلق حفره است (شکل ۷-۱). حفره‌ها، حاملهای ذاتی سدهای لایه‌های تهی ZnO، در هنگامیکه ولتاژ از یک مقدار بحرانی بیشتر می‌شود، هستند. این نظریه با داده‌های تجربی، همخوانی خوبی دارد، ولی از قدرت پیش‌بینی محدودی در قبال افروزه‌های شیمیایی جهت کنترل سدهای دانه – دانه برخوردار است. نظریه‌ی خلق حفره بعنوان منشأ رسانش غیرخطی در وریستورهای ZnO با مشاهدات گاف نواری الکترولومینسانس تأیید می‌شود [۱۰]. شدت لومینسانس مناسب با مجدور شدت جریان است، به گونه‌ای که شامل خلق حفره با موج یونیده فرودی در نزدیکی مرزدانه‌ای ZnO محسوب می‌شود.



شکل ۶-۱: تغییرات ثابت دیالکتریک یک وریستور ZnO نسبت به فرکانس در دمای اتاق [۷].



شکل ۷-۱: ساختار نیم رسانا- نارسانا- نیم رسانا. ناحیه‌ی بین دانه‌ای به عنوان یک سد نارسانا [۵].

۱-۳ نیمرسانای مغناطیسی رقیق (DMS)^{۱۸}

نیمرساناهای مغناطیسی رقیق، قطعاتی هستند که یونهای مغناطیسی در برخی از جایگاههای کاتیونهای شبکه به صورت تصادفی قرار می‌گیرند. بسیاری از این مواد، دارای پتانسیل مناسی برای به کارگیری در قطعات اسپیترونیک^{۱۹} هستند. در این قطعات، اسپینهای مواد مغناطیسی همراه با الکترونها نیمرسانا در مکانیسم رسانش شرکت دارند. با توجه به این نکته که قسمتی از حالات d فلزات واسطه و حالات f عناصر خاکی نادر خالیست، این عناصر می‌توانند گرینه‌های خوبی برای ساخت DMS ها باشند. الکترونها غیرجاگزیده نوار رسانش و حفره‌های نوار ظرفیت، با ممانهای مغناطیسی جایگزیده مربوط به اتمهای مغناطیسی، برهمکنش می‌کنند. عموماً،

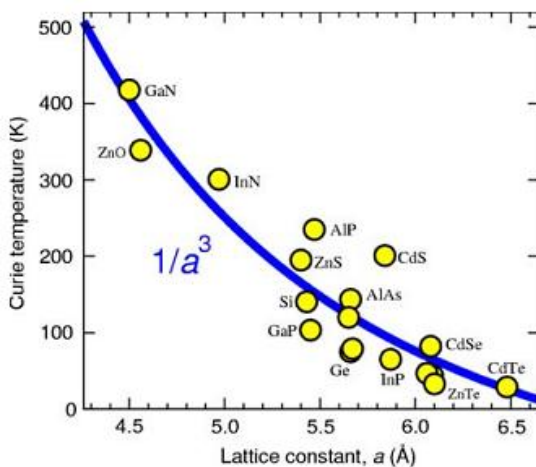
¹⁸ Diluted Magnetic Semiconductor (DMS)

¹⁹ Spintronics

زمانیکه تراز $3d$ یونهای فلزات واسطه، با کاتیونهای میزبان جایگزین می‌شوند، ساختار الکترونیکی تحت تأثیر هیبرید شدن اربیتالهای $3d$ یونهای مغناطیسی و اوربیتالهای p آنیونها قرار می‌گیرند [۱۱]. در این راستا، GaN و ZnO بیشترین توجهات را برای ساخت DMS ها با دمای کوری بالا به خود جذب کرده‌اند.

جدول (۱-۱): حالت‌های گوناگون یونیزه شدن برخی از فلزات واسطه برای ساختار ZnO

$3d^0$	$3d^5$	$3d^4$	$3d^3$	ZnO
Mn^+	Cr^+			پذیرنده
Fe^{r+}	Mn^{2+}	Cr^{2+}		ختشی
	Fe^{r+}	Mn^{3+}	Cr^{3+}	دهنده
		Fe^{r+}	Mn^{4+}	دهنده دوگانه



شکل (۱-۸): دمای کوری پیش‌بینی شده بعنوان تابعی از ثابت شبکه‌ی a . موادی دمای کوری بالایی دارند که دارای هیبرید p-d و برهمکنش کوچک اسپین - مدار باشند [۱۵].

Dietl^{۲۰} و همکارانش [۱۲] پیش‌بینی کرده بودند که DMS های نوع p بر پایه‌ی ZnO و GaN با درصدی از ناخالصی مغناطیسی مانند Mn (۵٪ یا بیشتر) در دمای بالای اتاق فرومغناطیس هستند. در نیمرساناهای مغناطیسی رقیق، نسبت محدودی از اتمهای ساختار به صورت تصادفی با عناظر فلزات واسطه جایگزین می‌شوند. حضور این یونهای مغناطیسی، بر برهمکنش تبادلی sp-d مانهای مغناطیسی جایگزیده و اسپینهای حاملها، اثر می‌گذارد [۱۱]. عناصر واسطه، دارای الکترون‌های طرفیت $4s$ و ترازهای نیمه‌پر $3d^5$ هستند ($[Ar] 3d^5 4s^1$: Mn). ZnO دارای ساختار ورتسایت^{۲۱}، تشکیل شده از پیوندهای تتراهرال sp^3 است. فلز واسطه مانند Mn، الکترون‌های $4s^1$ خود را در پیوندهای s-p³ شرکت می‌دهد. جدول (۱-۱) حالت‌های گوناگون اکسیداسیون ناخالصیهای مغناطیسی مرسوم در ساختار ZnO را نشان می‌دهد. نوارهای d فلزات واسطه با نوارهای طرفیت (O-p) هیبرید می‌شوند. این

²⁰ Dietl

²¹ Wurtzite

هیبریدشدن، موجب برهمکنش تبادلی بین اسپینهای جایگزیدهی $3d$ و حاملهای نوار طرفیت می‌شود. در این تصویر ساده، نوار S رسانش با نوارهای d فلزات واسطه مخلوط نمی‌شود. با این همه، ساتو^{۲۲} و همکارانش [۱۳] تأکید می‌کنند که حالت فرومغناطیس ZnO:Mn، با هیبرید $s-d$ نیز پایدارست. علیرغم اینکه برهمکنش تبادلی $p-d$ پادفرومغناطیس است، مطالعات تجربی حالت فرومغناطیس در $ZnMnO$ نوع n را نیز نشان می‌دهند [۱۴]. شکل ۸-۱ نشان می‌دهد که نیمرسانها با گاف بزرگ و ثابت‌های شبکه‌ی کوچک، هیبرید بزرگ $p-d$ و برهمکنش کوچک اسپین-مدار، دارای دمای کوری بالا هستند [۱۵].

۴-۱ ویژگیهای ZnO با ناخالصی Mn

در علم مواد، یک نیمرسانای II-VI خوانده می‌شود و دارای ویژگیهای جالبی است؛ از جمله: شفافیت بالا، تحرک خوب الکترون، گاف انرژی پهن، جذب لومونسانس قوی و این ویژگیهای بی‌همتا موجب شده است که ZnO کاربرد وسیعی در الکترودهای شفاف در نمایشگرهای LCD، پنجره‌های حافظ گرما، ترانزیستورها، دیودهای نوری و ... پیدا کند.

۱-۴-۱ ویژگیهای ساختاری

فرآیند تبلور اکسید روی در سه شکل ممکن ورتسايت^{۲۳} (هگزاگونال)، زینک بلند^{۲۴} و راکسالت^{۲۵} انجام می‌گيرد. در شرایط معمول، ساختار ورتسايت دارای پایداری بيشتری است. ساختار زینک بلند فقط از نشاندن بر روی بستر با ساختار مکعبی و ساختار راکسالت فقط تحت فشارهای خيلي بالا (در حدود ۱۰ GPa) تشکيل می‌شود [۱۶]. ساختار هگزاگونال و زینک بلند تقارن معکوس ندارند، در نتيجه ZnO در اين دو ساختار دارای ویژگي پيزوالكتريسيته و در ساختار هگزاگونال يك پيزوالكتريک است. ساختار هگزاگونال آن دارای گروه نقطه‌ی ای و گروه فضائي $P6\bar{3}mc$ ، ثابت‌های شبکه $\text{A}=c/a=3/25 \text{ \AA}$ و $c=5/2 \text{ \AA}$ و نسبت $a=6 \text{ mm}$ در ايده آل $(1/6\bar{3}3)$ است [۱۷]. به علت اينکه پيوندهای Zn-O قطبی است، صفحات شامل Zn و O، در بردارندهی بار الکتریکی (به ترتیب مثبت و منفی) هستند. بنابراین برای اینکه خشی بودن الکتریکی حفظ شود، غالباً این صفحات در سطح اتمی بازساخت می‌شوند. ولی این مسئله برای اکسیدروی صدق نمی‌کند. در این

²² Sato

²³ Wurtzite

²⁴ Zincblende

²⁵ Racksalt

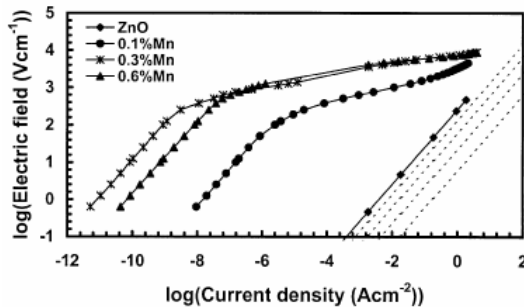
صورت، سطح آن از نظر اتمی بسیار صاف و پایدارست. این رفتار خلاف قاعده‌ی ZnO هنوز به طور کامل مورد کنکاش قرار نگرفته است [۱۸].

حلالیت^{۲۶} Mn در ساختار ZnO تا حد تعادل ۱۳٪ است، در صورتیکه این میزان تا ۳۵٪ بعنوان محصول فرآیند غیرتعادلی لایه‌نشانی با لیزر پالسی افزایش می‌یابد [۱۹]. با افزایش درصد منگنز، ثابت‌های شبکه‌ی ساختار ورتسایت (a و c) به علت بزرگتر بودن شعاع Mn^{۲+} (۰/۶۶ Å) نسبت به Zn^{۲+} (۰/۶۰ Å) افزایش می‌یابد [۲۴-۲۰]. حلالیت پایین منگنز در ساختار، موجب می‌شود که بنا به روش‌های گوناگون ساخت، فازهای ثانویه‌ای ظاهر گردند. دو فاز ناخالصی مربوط به ZnMn_۲O_۴ و ZnMn_۳O_۶ هستند که اولی دارای ساختار تتراترونال (گروه فضایی I_۴/amd) و دومی با تقارن مکعبی و گروه فضایی Fd_۳m تعیین شده است. یک توزیع غیریکنواخت یونهای Mn در ساختار ZnO در چندین مطالعه مشاهده شده [۲۵، ۲۶].

۲-۴-۱ ویژگیهای الکتریکی

ZnO یک نیمرسانای با گاف نواری نسبتاً بزرگ ۳/۳ eV در دمای اتاق است [۱۶]. بنابراین اکسید روی خالص، بی‌رنگ و شفاف است. فواید مؤثر این گاف نواری پهن را می‌توان در چهار مورد ولتاژهای شکست بالاتر، مقاومت در مقابل میدانهای الکتریکی بالا، نویز الکترونیکی کمتر و فرآیندهای عملیاتی توان و دمای بالا خلاصه کرد. همچنین، نوار گاف آن را می‌توان با افزودنیهایی نظیر منیزیم و کادمیم بین ۳ eV تا ۴ eV تنظیم کرد [۱۶]. اکسید روی یک نیمرسانای نوع n است و می‌توان آن را با جایگزینی Zn با عناصر گروه III نظیر Al، Ga و In یا جایگزینی اکسیژن با عناصر گروه VII مانند کلر و ید کنترل کرد [۲۷]. ولی ساخت اکسید روی نوع p دشوار است، به این علت که حلالیت ناخالصیهای پذیرنده در ساختار بسیار کم است. همچنین، اندازه‌گیریهای نوع p موادی که به صورت ذاتی نوع n هستند، به علت ناهمگنی نمونه‌ها مانع دیگر پیش روی محققان است [۲۸]. تحرک الکترون در ZnO به شدت تابعی از دماست ولی در دمای K_{۸۰} بیشترین مقدار خود یعنی ۲۰۰۰ cm^۳V^{-۱}s^{-۱} را داراست [۲۹].

^{۲۶} Solubility



شکل (۱-۹): مشخصه‌ی چگالی شدت جریان-ولتاژ سرامیکهای ZnO:Mn و ZnO که در دمای ۱۲۰۰°C به مدت ۲h تفجوش شده‌اند [۴۲].

در سرامیکهای بر پایه‌ی ZnO، دو نوع افزودنی کاربید دارد. اول کاتیونهای با شعاع یونی بزرگ که حلالت کمی در ساختار دارند، همانند Bi، Sr، Pr و یا Ca. این ناخالصیها که گاهی به آن "شکل دهنده‌های وریستور"^{۲۷} هم می‌گویند، برای کنترل رفتار دانه‌ها مورد استفاده قرار می‌گیرند [۳۰-۳۳]. دسته‌ی دوم ناخالصیها که شامل Mn و Co می‌شود، برای بهبود ویژگیهای غیراهمی قطعه کاربری دارد [۳۴-۳۷]. به علت اینکه ترکیب و میکروساختارهای این قطعات پیچیده هستند، نمی‌توان اثر هریک از ناخالصیها را بررسی کرد [۳۸-۴۱]. هدف از تحقیقات اخیر، تعیین ویژگیهای وریستورهای دوتایی است، از جمله اثر منگنز بر خواص الکتریکی ZnO مانتاس^{۲۸} و همکارانش [۴۲] به این نتیجه رسیده بودند که منگنز در دمای اتاق بعنوان یک ناخالصی دهنده عمل می‌کند و از تمرکز دهنده‌های ذاتی Zn در لبه‌های دانه‌ها در حین تفجوشی می‌کاهد. منگنز منجر به افزایش مقاومت ZnO در دمای اتاق می‌شود. زمانیکه درصد منگنز بالا می‌رود، با اینکه ناخالصی منگنز اثر مستقیمی بر روی هدایت الکتریکی ZnO ندارد، چگالی حاملهای ذاتی را در سطح مشترک در رفتگیها کنترل می‌کند. همچنین، تحلیل مشابهی دال بر به وجود آمدن مراکز پذیرنده‌ای در مرزدانه‌ها صورت گرفته است [۴۳]. به عنوان نمونه، نتیجه به دست آمده از تأثیر منگنز بر مشخصه‌ی ولتاژ- جریان در شکل (۱-۹) آورده شده است [۴۴].

۳-۴-۱ ویژگیهای مغناطیسی

مکانیسم رفتار مغناطیسی ZnO:Mn بسیار پیچیده است و به عوامل گوناگونی از جمله فاصله‌ی بین یونهای Mn با یکدیگر، نوع و چگالی حاملها و ... بستگی دارد. این عوامل بر ساختار الکترونی که شدیداً در خاصیت مغناطیسی مؤثر است، تأثیر می‌گذارد. به همین علت، بسته به روش ساخت ماده، یکی از این عوامل بر دیگر پارامترها ارجحیت پیدا می‌کند و در نتیجه رفتار مغناطیسی ZnO:Mn تغییر می‌کند. دو گونه زیرمجموعه‌ی اسپینی، بیان کننده‌ی این ویژگیهای متفاوت است. در اولین مدل اسپینی، یونهای Mn هیچ همسایه‌ی مغناطیسی ندارند، به

²⁷ Varistor former

²⁸ Mantas

همین علت به صورت آزادانه جهت‌گیری می‌کند. ولی با بالارفتن درصد Mn، برهمکنشهای پادفرومغناطیسی بنا به برهمکنش میدان میانگین بین یونهای همسایه (خوشه‌های اسپینی) افزایش و در نتیجه مغناطش کل کاهش می‌یابد.^{۲۹} لازم وهمکارانش [۴۵]^{۳۰}، اثر این خوشه‌های اسپینی را در توده‌ی ZnO:Mn بررسی کردند و هیچ گذار از فرومغناطیس را بالای دمای ۲K مشاهده نکردند. در این پژوهش، پذیرفتاری مغناطیسی پس از یک انحنای در دماهای پایین، در دماهای بالا به صورت خطی ادامه پیدا می‌کند [۴۶]. در تأیید آن دسته از نظریه‌های تئوری، که فرومغناطیس در نمونه‌های نوع p را پیش بینی می‌کردند، فرومغناطیس در نانوکریستال ZnO:Mn نوع p در دمای ۳۵۰K گزارش شد [۴۷]. همچنین، شارما و همکارانش [۴۸] فرومغناطیس دمای اتاق را در نمونه‌های قرص و تفجوش شده در دمای پایین مشاهده کردند. دمای تفجوش پایین (۵۰۰°C) از آن جهت مورد استفاده قرار گرفت که هیچ فاز ثانویه‌ای تشکیل نگردد. در جدول (۲-۱) ویژگیهای مغناطیسی این فازهای ناخالصی آورده شده است. از طرفی، کولزنيک^{۳۱} [۴۹] علت فرومغناطیس بودن نمونه‌های شارما را وجود فازهای $Mn_2O_۳$ و $MnO_۲$ در پیش ماده دانست. بعلاوه، فرومغناطیس در دمای اتاق برای نمونه‌های (۰/۰۵ و ۰/۰۲ = x) سنتز شده با روشهای سل-ژل و واکنش حالت جامد نیز گزارش شده است [۵۰]. البته، بررسیهای ویژگیهای مغناطیسی در ساختارهای تک‌فاز ZnO:Mn، فرمغناطیس در دماهای بالا و پایین اتاق را تأیید می‌کند [۵۱-۵۶]. در جدول (۲-۱)، برخی از پژوهش‌های مغناطیسی در لایه‌ی نازک ZnO:Mn و همچنین شرایط سنتز آنها فهرست شده است. در شکل (۱۰-۱)، مغناطش ZnO:Co بر حسب دما آورده شده است که به تخمین دمای کوری نیز کمک می‌کند.

جدول (۲-۱): فازهای ثانویه ZnO:Mn و ویژگیهای مغناطیسی آنها.

فاز	دما کوری یا نیل (K)	حالت مغناطیسی
MnO	۱۱۶	پادفرومغناطیس
$MnO_۲$	۹۲	پادفرومغناطیس
$Mn_۲O_۳$	۷۶	پادفرومغناطیس
$Mn_۳O_۴$	۴۳	فرومغناطیس
$ZnMn_۲O_۴$	۴۰	فرومغناطیس
$ZnMnO_۴$	—	اسپین گلاس

²⁹ Lawes³⁰ Kolesnic